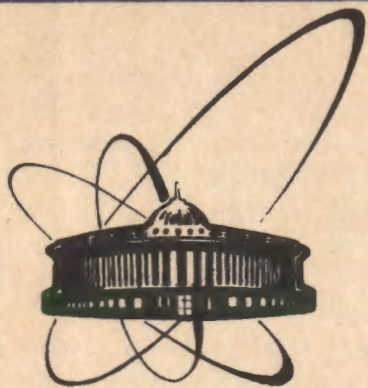


91-502



ОБЪЕДИНЕННЫЙ  
ИНСТИТУТ  
ЯДЕРНЫХ  
ИССЛЕДОВАНИЙ  
ДУБНА

P14-91-502

О.Отгонсурэн\*, Л.Энхжин\*, Ш.Гэрбиш\*,  
В.П.Перелыгин, Р.И.Петрова

ОПРЕДЕЛЕНИЕ СОДЕРЖАНИЯ Тh В ОБРАЗЦАХ  
С ПОМОЩЬЮ  $\gamma$ -КВАНТОВ И  $\alpha$ -ЧАСТИЦ

Направлено в журнал "Nuclear Tracks and Radiation Measurements"

\*Институт физики и техники АН МНР, Улан-Батор

1991

## 1. ВВЕДЕНИЕ

При определении содержания и пространственного распределения элемента тория в образцах обычно используют пучки легких быстрых частиц, индуцирующие деление ядер этого элемента на осколки сравнимой массы. Эти осколки регистрируются с помощью диэлектрических трековых детекторов; просмотр и анализ треков осколков деления производятся под микроскопом. Однако такие частицы индуцируют также деление ядер изотопов урана, обычно содержащегося в тех же образцах в виде микропримесей. Для определения содержания и пространственного распределения урана используют реакцию деления ядер урана-235 тепловыми нейтронами для тех же образцов, помещаемых в контакт с диэлектрическими трековыми детекторами. Такое двукратное облучение позволяет учесть фон от деления микропримесей урана и получить достоверные данные о содержании и пространственном распределении тория в образцах.

Впервые эксперимент по определению концентрации и пространственного распределения тория был проведен Ю. А. Шуклюковым. Он использовал интенсивные пучки гамма-квантов с энергией 24 МэВ, генерируемые на бетатроне БУВ-30 /1/. При торможении в мишени пучка бета-частиц с энергией 24 МэВ возникало тормозное гамма-излучение, вызывавшее деление как тория, так и микропримесей урана в исследовавшемся образце монацита. Регистрация осколков индуцированного деления производилась с помощью синтетической слюды фторфлогопит. Полученное распределение плотности треков осколков сопоставлялось с распределением плотности треков от осколков деления урана-235 тепловыми нейтронами в том же образце. Двукратное облучение быстрыми протонами и нейтронами, альфа-частицами и нейтронами с использованием в качестве детекторов слюды мусковит применялось также авторами работ /2, 3/.

Проведенные нами ранее детальные исследования зависимости эффективного слоя вещества источника R<sub>0</sub> от атомного номера z исследуемого образца показали, что величина меняется в широких пределах — от 0,9 мг/см<sup>2</sup> для углеводородов до 4,5-5 мг/см<sup>2</sup> для элементов Aq-U /4/ (внешний детектор осколков деления — слюда, лавсан, поликарбонат).

Во всех этих опытах исследуемые образцы имели толщину много-

больше пробега осколков деления, то есть они были "бесконечно толстыми" для таких осколков.

Постановка опыта во всех этих исследованиях была одинаковой. Изготавливался плоский образец исследуемого вещества /шлиф, скол или слой тонкого порошка/. К нему с поверхности прикладывался трековый детектор. Затем проводилось облучение ядерно-активными частицами /тепловые нейтроны, гамма-кванты, протоны, дейтроны, альфа-частицы/. В связи с тем что альфа-частицы и протоны имеют ограниченный пробег, облучение ими проводят со стороны детектора - обычно тонкой слюды / $D \approx 15-20$  мкм/. При флюэнсе протонов, дейтронов, альфа-частиц  $\Phi \geq 10^{13}$  фон ядер отдачи в слюде устраниют отжигом при  $560^{\circ}\text{C}$  в течение 6 часов.

## 2. ЭКСПЕРИМЕНТАЛЬНАЯ ЧАСТЬ

Нами были предприняты опыты по усовершенствованию трековой методики определения содержания тория в образцах - железомарганцевых конкрециях из Южной части Тихого океана, исследовавшихся нами ранее /5/, а также стандартных материалах СТ-1А ГСО 519, СГД-1А ГСО 520-84П и СП-2 902 76, в которых концентрация урана и тория была определена независимыми методами.

Образцы измельчали в тонкий порошок, затем 50 мг вещества каждого образца взвешивали в ацетоне с добавкой 0,1% клея БФ-6. Взвесь помещали в алюминиевые кюветы размером 15x25 мм, испаряли ацетон и высушивали осадок при  $100^{\circ}\text{C}$ . Слои исследуемых образцов и эталона - тонкие калиброванные слои естественного урана - помещали в лавсановые пакеты, служившие детекторами осколков деления.

### а/ ОПРЕДЕЛЕНИЕ КОНЦЕНТРАЦИИ УРАНА

Облучение образцов и эталонов тепловыми нейtronами проводили на установке "Регата" реактора ИБР-2 ОИЯИ, флюэнс тепловых нейtronов составлял  $4 \times 10^{16}$  нейтр./ $\text{cm}^2$ .

После облучения лавсановые пакеты промывали с целью удаления остатков порошка и загрязнений поверхности, затем облучали ультрафиолетовым светом от ртутной газоразрядной лампы в течение 30-60 мин. Травление лавсана производили в 6,25 N щелочи NaOH при  $60^{\circ}\text{C}$  в течение 60 мин /лавсан в контакте с урановым препаратом/ и 120-180

мин /лавсан в контакте с образцом/. Плотность треков на лавсане, бывшем в контакте с урановым эталоном, определяли при увеличении 600Х с использованием окулярной сетки 100x100 делений. Число сосчитанных треков было  $N_{\text{тр}} \geq 1000$ .

Подсчет треков на лавсане, находившемся в контакте с образцом, производили при увеличении 160Х, просматривая под микроскопом всю площадь детектора /несколько  $\text{cm}^2$ /, если плотность треков невелика -  $N \leq 30$  тр./ $\text{cm}^2$ .

Определение содержания урана производили по формуле / в граммах урана на грамм образца/

$$C_U = \frac{N_{\text{обр}} C_{\text{эт}} \epsilon}{N_{\text{эт}} R_{\text{эфф}}}, \quad (1)$$

где  $N_{\text{обр}}$  и  $N_{\text{эт}}$  - измеренные плотности треков для образца и эталона,  $C_{\text{эт}} = (0,13; 12,5) \times 10^{-3}$  мкг/ $\text{cm}^2$  урана для эталонов,  $\epsilon$  - эффективность регистрации осколков в лавсане /случай тонкого плоского препарата/,  $R_{\text{эфф}}$  рассчитывается с учетом атомных концентраций элементов, составляющих основу исследуемого образца по формуле

$$R_{\text{эфф}} = (0,046 \sum_{i=1}^n \alpha_i Z_i + 0,78) \text{ мг}/\text{cm}^2. \quad (2)$$

### б/ ОПРЕДЕЛЕНИЕ СОДЕРЖАНИЯ ТОРИЯ С ПОМОЩЬЮ ГАММА-КВАНТОВ

При определении содержания тория в образцах необходимо знать отношение сечений деления урана и тория  $\sigma_u/\sigma_{\text{Th}}$  данной частицей при заданной энергии. В наших экспериментах вместо отношения сечений  $\sigma_u/\sigma_{\text{Th}}$  мы определяли отношение плотностей треков  $N_u/N_{\text{Th}}$  для металлических пластинок урана и тория - толстых источников осколков - имея в виду то, что пробеги осколков деления урана и тория приблизительно одинаковы. Пластиинки, запакованные в лавсановые пакеты, получались в течение 5 с гамма-квантами с энергией от 7 до 23,5 МэВ. Приведенная зависимость числа осколков деления  $U$  и  $\text{Th}$  гамма-квантами от их энергии представлена на рис.1.

Отношение плотностей треков на детекторах, находившихся в контакте с металлическим ураном и торием, при различных энергиях гамма-квантов графически изображено на рис.2. Как видно из рисунка,

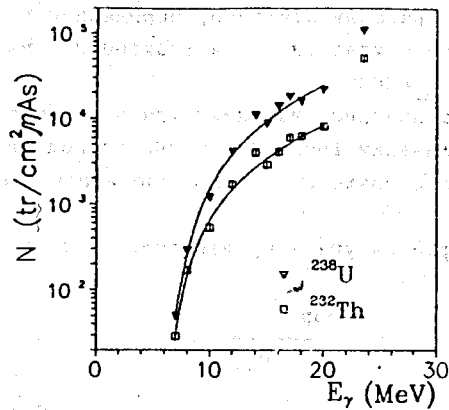


Рис. 1. Зависимость числа треков осколков деления ядер урана и тория от энергии гамма-квантов в лавсановом детекторе. Использовались толстые металлические слои урана и тория.

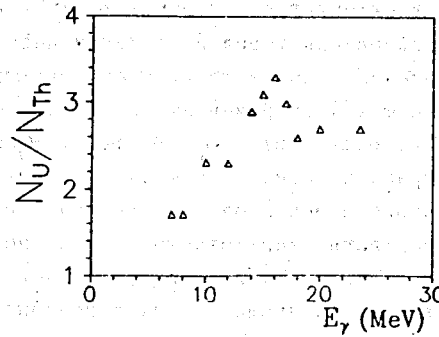


Рис. 2. Отношение выходов осколков деления от бесконечно толстых слоев металлического урана и тория в зависимости от энергии гамма-квантов.

отношение  $N_{\text{U}}/N_{\text{Th}}$  менялось от 1,7 до 3,2, достигая максимума в области гигантского резонанса (14–16 МэВ). Таким образом, отношение выходов осколков деления  $\text{U}$  и  $\text{Th}$  в образцах разнится весьма существенно. Этот результат показывает, что содержание тория можно определять путем двукратного облучения образца гамма-квантами двух энергий: 15 МэВ, где выход реакции  $\text{U}(\gamma, f)$  максимальен, и другой – в области энергии 6–8 МэВ, где относительный выход осколков деления в 2 раза выше. Эта процедура является простой и удобной, так как при облучении  $\gamma$ -квантами на микротроне при интенсивности пучка электронов ~10 мА требуется всего 1 час экспозиции при  $C_{\text{U}} \approx 10^{-6}$ – $10^{-7}$  г/г/ при каждой энергии.

При облучении  $\gamma$ -квантами с энергией 20 МэВ использовались также соли урана и тория  $\text{UO}_1(\text{NO}_3)_2$  и  $\text{Th}(\text{CO}_3)_2$ . Учитывая эффективный работающий слой для этих солей (1,1 мг/см<sup>2</sup> для  $\text{UO}_1(\text{NO}_3)_2 \cdot 6\text{H}_2\text{O}$  и 1,55 мг/см<sup>2</sup> для  $\text{Th}(\text{CO}_3)_2$ ), определили отношение  $N_{\text{U}}/N_{\text{Th}}$ , значение которого точно совпадало со значением этого отношения, полученным с помощью металлических пластинок  $\text{U}$  и  $\text{Th}$ . Этот результат еще раз подтверждает справедливость формулы (2).

При определении содержания  $\text{Th}$  в образцах использовали эталонные куски естественного урана 0,13 и 12,5 мкг/см<sup>2</sup>. Образцы и эталоны в лавсанах помещали на расстоянии 10 см от конвертора микротрона МТ-25 и облучали  $\gamma$ -квантами в течение часа. Энергия в этом опыте была равна 20 МэВ. Плотность треков осколков деления для эталона урана составила 0,13 мкг/см<sup>2</sup>, равнялась  $4.1 \times 10^4$  тр/см<sup>2</sup>, плотность треков для исследуемых образцов варьировалась от  $1.2 \times 10^3$  до  $2.6 \times 10^3$  тр/см<sup>2</sup>, для стандартных образцов  $4.6 \times 10^3$  тр/см<sup>2</sup> и  $1.2 \times 10^4$  тр/см<sup>2</sup> для образцов с фосфоритовыми конкрециями.

Концентрация урана  $C_{\text{U}}$  известна из первого опыта. Использовался один и тот же эталон урана. Концентрация  $\text{Th}$  определялась по формуле (2), в которой вместо  $N_{\text{U}}$  и  $N_{\text{Th}}$  в образце и эталоне вводились  $N_{\text{U}}^{\gamma}$  и  $N_{\text{Th}}^{\gamma}$ .

$$C_{\text{Th}} = \left( \frac{N_{\text{U}}^{\gamma} N_{\text{эт}}^{\text{п}} N_{\text{U}} - N_{\text{U}}^{\text{п}}}{N_{\text{обр}}^{\text{п}} N_{\text{эт}}^{\gamma} N_{\text{U}}} - \frac{N_{\text{U}}^{\text{п}}}{N_{\text{Th}}^{\text{п}}} \right) C_{\text{U}}, \quad (3)$$

где  $N_{\text{обр}}^{\text{п}}$ ,  $N_{\text{обр}}^{\gamma}$ ,  $N_{\text{эт}}^{\text{п}}$ ,  $N_{\text{эт}}^{\gamma}$  – число треков от образца и эталона урана при облучении нейтронами и  $\gamma$ -квантами.

Для определения безразмерной величины  $C_{\text{Th}}/C_{\text{U}}$  измерения ограничиваются.

ваются измерением указанных выше четырех плотностей треков.

Этот эксперимент был повторен для калиброванных стандартов при энергии  $\gamma$ -квантов 18 МэВ. Результаты измерений содержания U и Th приведены в таблице 1.

Таблица 1

Образец	$C_U \cdot 10^{-6}$ г/г		$C_{Th} \cdot 10^{-6}$ г/г			
	известные данные	опыт с тепловыми $\gamma$	известные данные	опыт с $E=20$ МэВ	опыт с $E=18$ МэВ	опыт с $\alpha$ -част.
СГД-1А	2.0	2.0	9.0	7.9	10.4	4.4
СТ-1А	0.8	1.4	2.6	2.9	3.4	1.0
СП-2	5.0	5.2	6.0	0.5	-	-
Конкремция-1	4.0-6.0/7/	5.0	10-150/7/	33	-	-
Конкремция-2	- " -	5.0	- " -	115	-	-

#### В/ ОПРЕДЕЛЕНИЕ СОДЕРЖАНИЯ ТОРИЯ С ПОМОЩЬЮ АЛЬФА-ЧАСТИЦ

Эксперименты по облучению исследуемых образцов и эталонов альфа-частицами проводились нами на внешнем пучке циклотрона У-200. Энергия альфа-частиц равнялась 9,1 МэВ. Образцы и эталоны помещали перпендикулярно пучку на образующую вращающегося диска диаметром 20 см. Поверх образцов помещали слои слюды мусковит толщиной ~20 мкм в качестве детекторов осколков деления.

В первом опыте облучались слои металлического урана и тория, а также препараты естественного урана 12,5 мкг/см<sup>2</sup>. Ток альфа-частиц составлял ~2мкА, время облучения - 1 мин. Во втором опыте при определении содержания тория в эталонах время облучения составляло 1 час при токе 2,5 мкА. После облучения слои слюды проправливали в 40% HF при 20°C в течение часа и просматривали под микроскопом при увеличении 600x. Сопоставление плотности треков на слюдах, находившихся в контакте с металлическими слоями U и Th, дало следующее отношение:  $N_U/N_{Th} = (1,06 \pm 0,07)$ . Эта величина была использована в формуле (3) при получении значений концентрации Th, приведенных в таблице 1.

#### 3. ОБСУЖДЕНИЕ РЕЗУЛЬТАТОВ

В таблице 1 приведены значения концентрации U и Th - измеренные ранее для стандартов и полученные нами в этих опытах. Как видно из этой таблицы, получено удовлетворительное соответствие измеренных нами значений содержания U и Th для стандартов в опытах с нейтронами и  $\gamma$ -квантами. Для железомарганцевых конкреций содержание U и Th согласуется с данными, приведенными в работах /7, 6/.

Отметим, что в опытах с альфа-частицами было получено заниженное значение содержания Th, что, возможно, связано с большой неоднородностью плотности потока альфа-частиц по вертикали. В дальнейших исследованиях необходимо будет обеспечить дефокусировку пучка альфа-частиц по вертикали.

В случае стандарта СП-2 содержание Th не удалось определить. Здесь следует подчеркнуть, что из-за значительной разницы сечений U и Th  $\gamma$ -квантами (~ 2:1) надежное измерение концентрации трековым методом возможно лишь в случае, если содержание Th по крайней мере в два раза превосходит содержание U в исследуемом веществе.

Кроме определения содержания, трековая методика позволяет определять с высокой степенью разрешения локальное распределение Th в природных образцах. Это позволяет делать вполне определенные заключения о формах нахождения Th и генезисе рудообразования этого элемента. Применение интенсивных пучков  $\gamma$ -квантов позволяет проводить измерения локальных проявлений Th на уровне  $10^{-5}$  -  $10^{-6}$  г/г.

В заключение авторы выражают глубокую благодарность Белову А.Г. за проведение облучения  $\gamma$ -квантами на микротроне МТ-25 и Епифаненкову Ф.Е. за проведение облучений на циклотроне У-200.

#### ЛИТЕРАТУРА

- Шуклюков Ю.А. Деление ядер урана в природе. М., Атомиздат, 1970, с. 210-212.
- Bimbot R., Maurette M., Pellas P. Geochim. et Cosmochim. Acta, 1967, v.31, N2, p.263-274.
- Hair M.W., Kaufhold J., Maurette M., Walker R.M. "Radiat. Eff.", 1971, v.7, N3-4, p.285-287.
- Абдуллаев Х., Капусцик А., Отгонсурэн О., Перельгин В.П., Чултэм Д. Препринт ОИЯИ Р13-3243, Дубна, 1967.
- Отгонсурэн О., Перельгин В.П., Флеров Г.Н. ДАН СССР, 189, № 6, 1200(1969).
- Гангрский Ю.П., Марков Б.Н., Перельгин В.П. Регистрация и спектрометрия осколков деления. М., Энергоиздат, 1981, с.150-153.
- Страхов Н.М., Штеренберг Л.Е., Калиненко В.В., Тихомирова Е.С. Геохимия осадочного марганцеворудного процесса. М., "Наука", 1968.

Рукопись поступила в издательский отдел

18 ноября 1991 года.